

УДК 621.378.33

**ПРИБЛИЖЕННОЕ РЕШЕНИЕ УРАВНЕНИЯ БОЛЬЦМАНА
ДЛЯ ФУНКЦИИ РАСПРЕДЕЛЕНИЯ ЭЛЕКТРОНОВ
В СЛАБОИОНИЗОВАННОЙ МОЛЕКУЛЯРНОЙ ПЛАЗМЕ
В ПОСТОЯННОМ ЭЛЕКТРИЧЕСКОМ ПОЛЕ**

Г. Я. Дынникова
(Москва)

Расчет функции распределения электронов $f(U)$ оказывается необходимым при решении ряда задач, связанных с определением эффективности процессов в плазме. Функция распределения электронов описывается интегралом уравнением, решение которого представляет известные трудности. Существует ряд методов численного решения [1—4], а также аналитического исследования функции распределения электронов [5—8]. Однако поиск более простых методов решения, позволяющих находить основные энергетические характеристики электронов с минимальными затратами времени и удовлетворительной точностью, продолжает оставаться актуальной задачей.

В данной работе найдено приближенное аналитическое выражение для функции распределения электронов, обладающее большой простотой и наглядностью и позволяющее вычислять $f(U)$ при выполнении определенных условий с высокой точностью. В тех случаях, когда точность оказывается недостаточной, это выражение может быть использовано в качестве начального приближения в итерационном процессе. Решение найдено с учетом неупругих соударений первого рода. Кроме того, получено выражение для функции распределения электронов с учетом соударений второго рода, которое, хотя и не является явным, позволяет легко вычислить $f(U)$.

В квазистационарном случае пространственно однородного газа и почти изотропной функции распределения электронов по скоростям, а также малой степени ионизации газа кинетическое уравнение для изотропной части функции распределения электронов по скоростям (выраженной как функция энергии) с учетом неупругих соударений имеет вид [2]

$$(1) \quad \frac{1}{3} \frac{E^2 U e^2}{N Q_{\text{Tp}}} \frac{df}{dU} + \frac{2m}{M} U^2 N Q_{\text{Tp}} \left(f + kT \frac{df}{dU} \right) + N \varepsilon_{\text{bp}} U Q_{\text{bp}} \left(f + kT \frac{df}{dU} \right) + \\ + \sum_i \int_{U_i}^{U+U_i} N U Q_i(U) f(U) dU,$$

где E — напряженность электрического поля; U , e , m — энергия, заряд и масса электрона; M — масса молекулы; k — постоянная Больцмана; N — плотность молекул; T — температура газа; U_i — энергия, теряемая электроном при неупругих соударениях с молекулами; Q_{Tp} — транспортное сечение рассеяния электрона на молекуле; Q_i — сечения неупругого взаимодействия; ε_{bp} — вращательная постоянная; Q_{bp} определяется формулой, аналогичной [9, 10]:

$$Q_{\text{bp}} = \sum_i \sum_n -\frac{N_i}{N} \frac{U_{i,i+n}^2}{\varepsilon_{\text{bp}} k T} Q_{i,i+n}.$$

Здесь N_i — плотность молекул на i -м вращательном уровне; $U_{i,i+n}$, $Q_{i,i+n}$ — энергия и сечение перехода с i -го вращательного уровня на $(i+n)$ -й.

Первое слагаемое описывает увеличение энергии электронов в электрическом поле, второе — потери энергии при упругих столкновениях,

третье — потери на возбуждение вращательных уровней молекул в диффузионном приближении [1, 10] и в предположении равновесного распределения молекул по вращательным уровням, четвертое — передачу энергии в колебательные и электронные степени свободы, а также потери энергии на ионизацию с учетом соударений первого рода.

Введем обозначения $A = \frac{1}{3} \frac{E^2 U_e^2}{N Q_{\text{тр}}} + \frac{2m}{M} U^2 N Q_{\text{тр}} kT + \varepsilon_{\text{вр}} U N Q_{\text{вр}} kT$, $B = \frac{2m}{M} U^2 N Q_{\text{тр}} + N \varepsilon_{\text{вр}} U Q_{\text{вр}}$, $C_i = N U Q_i$, с использованием которых уравнение (1) примет вид

$$(2) \quad A \frac{df}{dU} + Bf + \sum_i \int_U^{U+U_i} C_i(U') f(U') dU' = 0.$$

Будем искать решение $f(U)$ в форме

$$f(U) = f_0 \exp \left[- \int_0^U Y(U') dU' \right],$$

при этом $df/dU = -Y(U)f(U)$. Отметим, что функция $Y(U)$, как видно из (2), везде положительна, так как A , B и C_i положительны. Это потребуется нам в дальнейшем.

Покажем, что если $Y(U') \gg 1/U_i$ в области $U \leq U' \leq U + \varepsilon$, где ε удовлетворяет неравенству $1/Y(U) \ll \varepsilon < U_i$ и относительное изменение функций $Y(U)$ и $C_i(U)$ невелико, то справедливо приближение

$$(3) \quad \int_U^{U+U_i} C_i(U') f(U') dU' \approx C_i(U) f(U) / Y(U).$$

В самом деле, если $Y(U)$ велико, то $f(U)$ — быстро спадающая функция и основной вклад в интеграл будет давать область размера ε . Следовательно

$$\begin{aligned} \int_U^{U+U_i} C_i(U') f(U') dU' &\approx f(U) \int_0^\varepsilon C_i(U+U') \exp \left[- \int_0^{U'} Y(U'') dU'' \right] dU' \approx \\ &\approx f(U) C_i(U) \int_0^\varepsilon e^{-Y(U)U'} dU' = \frac{f(U) C_i(U)}{Y(U)} (1 - e^{-Y(U)\varepsilon}) \approx f(U) C_i(U) / Y(U). \end{aligned}$$

Приближение (3) позволяет преобразовать интегродифференциальное уравнение (2) в алгебраическое относительно $Y(U)$: $AY^2 - BY - C = 0$, $C = \sum C_i$, которое имеет два корня — положительный и отрицательный. Как говорилось выше, $Y(U) > 0$, поэтому

$$(4) \quad Y(U) = \frac{1}{2} \left(\frac{B}{A} + \sqrt{\frac{B^2}{A^2} + \frac{4C}{A}} \right)$$

($Y(U)$ — логарифмическая производная функции $f(U)$, т. е. равна тангенсу угла наклона графика $f(U)$, построенного в логарифмическом масштабе).

Рассмотрим физический смысл величин, входящих в выражение $Y(U)$. Введем обозначения $U_{\text{упр}} = 2mU/M$, $U_{\text{вр}} = Q_{\text{вр}}\varepsilon_{\text{вр}}/Q_{\text{тр}}$, $U_e = E_e/(N Q_{\text{тр}})$, $U_T = kT$. Тогда

$$\frac{B}{A} = \frac{U_{\text{упр}} + U_{\text{вр}}}{\frac{1}{3} U_e^2 + U_{\text{упр}} U_T + U_{\text{вр}} U_T}, \quad \frac{C}{A} = \frac{1}{\frac{1}{3} U_e^2 + U_{\text{упр}} U_T + U_{\text{вр}} U_T} \sum_i \frac{Q_i}{Q_{\text{тр}}},$$

где U_e — характерная величина приращения энергии электрона в электрическом поле между двумя соударениями с молекулами; $U_{\text{упр}}$, $U_{\text{вр}}$ — характерные величины энергии, теряемой электроном при упругом столкно-

вении и при столкновении с возбуждением вращений; U_T — тепловая энергия молекул газа.

Решение (4) получено в предположении

$$(5) \quad Y(U) \gg 1/U_i.$$

Из (4) видно, что $Y(U) \geq B/A$, $Y(U) \geq \sqrt{C/A}$ и в то же время $Y(U) \leq \leq B/A + \sqrt{C/A}$. Значит, для выполнения условия (5) необходимо, чтобы по крайней мере одна из величин

$$\alpha = \frac{BU_{\min}}{A} = \frac{(U_{\text{упр}} + U_{\text{вр}}) U_{\min}}{\frac{1}{3} U_e^2 + U_{\text{упр}} U_T + U_{\text{вр}} U_T}, \quad U_{\min} = \min_i \{U_i\},$$

$$\beta = \sqrt{\frac{CU_{\min}^2}{A}} = \sqrt{\frac{\sum Q_i}{Q_{\text{тр}}} \frac{U_{\min}^2}{\frac{1}{3} U_e^2 + U_{\text{упр}} U_T + U_{\text{вр}} U_T}}$$

была много больше единицы.

На рис. 1 приведены графики функций α и β для холодной плазмы ($T = 300$ К) чистой окиси углерода при характерных для электроионизационных СО-лазеров значениях отношения E/N : 1 — $0,707 \cdot 10^{-16}$, 2 — $0,5 \cdot 10^{-16}$ В·см². На рис. 2 представлены использованные в расчетах зависимости $Q_i(U)$ из [11], модифицированные согласно [12]. Эффективные сечения возбуждения вращательных степеней свободы взяты такими же, как и в [12].

Из рис. 1 видно, что при заданных значениях параметров в области, где влияние неупругих соударений существенно, неравенство (5) выполняется. В допороговой области ($U \leq 0,3$ эВ) можно ожидать заметного отличия значения $Y(U)$, вычисленного по формуле (4), от точного решения, так как приближение (3) в этой области несправедливо.

На рис. 3 изображены зависимости $Y(U)$, полученные по формуле (4) (сплошные линии) и путем численного решения уравнения (1) (штриховые) при $E/N = 0,707 \cdot 10^{-16}$, $0,5 \cdot 10^{-16}$, $0,354 \cdot 10^{-16}$ В·см² (кривые 1—3). Видно, что имеет место хорошее согласие всюду, кроме допороговой области. Однако протяженность этой области относительно невелика, а так как в выражение для функции распределения входит интеграл от $Y(U)$, то можно ожидать, что влияние ее на $f(U)$ будет незначительным.

На рис. 4 показаны графики функций $f(U)$ (обозначения те же, что и на рис. 3). Видно, что, несмотря на довольно грубое приближение (3), имеет место хорошее согласие результатов. Точность решения в допороговой области можно повысить, если вместо приближения (3) взять аппроксимацию интеграла, используя малость величины $U_i Y(U)$:

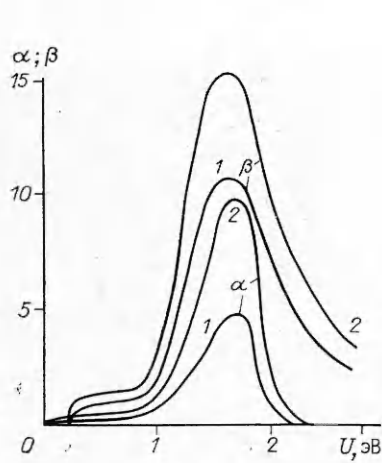
$$\int_U^{U+U_i} C_i f dU \approx f(U) e^{-(U_i - U) Y(U)} \int_U^{U+U_i} C_i dU \approx f(U) [1 - (U_i - U) Y] \int_U^{U+U_i} C_i dU.$$

Тогда

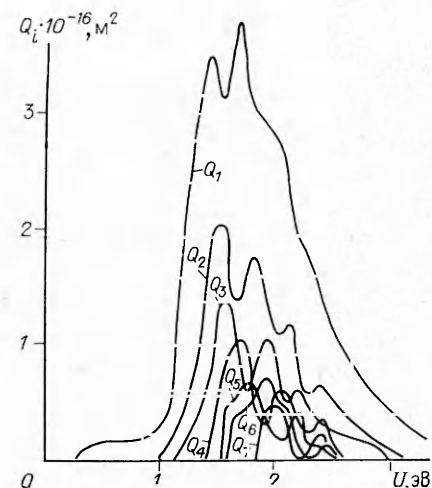
$$Y(U) = \frac{B + \sum_i \int_U^{U+U_i} C_i dU}{A + \sum_i (U_i - U) \int_U^{U+U_i} C_i dU}.$$

При этом суммирование надо проводить только по тем i , для которых $Y U_i \leq 1$, что требует дополнительного анализа. Практически обычно оказывается достаточным взять один член суммы, соответствующий минимальному значению U_i .

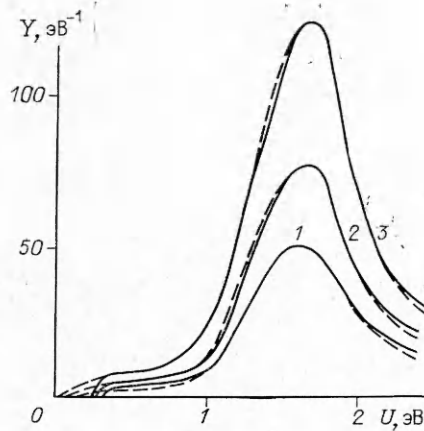
Как уже говорилось выше, когда требуется более высокая точность, приближенное решение, полученное в данной работе, может быть исполь-



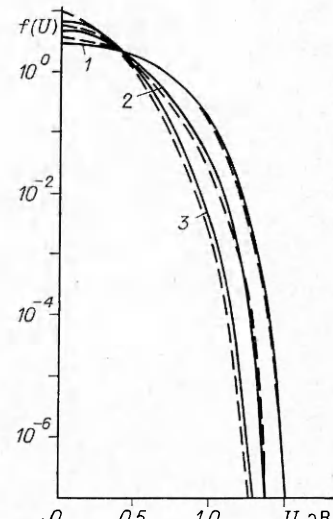
Р и с. 1



Р и с. 2



Р и с. 3



Р и с. 4

зовано в качестве начального приближения $f_1(U)$ в итерационном процессе [3], а следующим приближением будет $Y(U) = \frac{1}{A} \left(B + \frac{1}{f_1(U)} \times \right. \times \sum_{i=1}^{U+U_i} \int_U^{U+U_i} C_i f_1(U) dU \left. \right).$

Описанный выше метод может быть обобщен на случай, когда необходимо учитывать влияние соударений второго рода. Уравнение для $f(U)$ при этом имеет вид

$$(6) \quad A \frac{df}{dU} + Bf + \sum_i \int_U^{U+U_i} C_i f dU - \sum_j \int_{U-U_j}^U Q_{-j} U N_j f dU = 0.$$

Переходя к переменной Y и аппроксимируя интегралы в третьем слагаемом по формуле (3), получим

$$(7) \quad Y(U) = \frac{1}{2} \left(\frac{B'}{A} + \sqrt{\left(\frac{B'}{A} \right)^2 + \frac{4C}{A}} \right),$$

где $B' = B - \frac{1}{f(U)} \sum_j \int_{U-U_j}^U Q_{-j} N_j U' f(U') dU'$. Выражение (7) в отличие от (4)

не является явным, так как для вычисления $Y(U)$ в точке $U = U_0$ необходимо знать $Y(U)$ при $U < U_0$. Однако численное нахождение $Y(U)$ и $f(U)$ в этом случае гораздо проще решения интегродифференциального уравнения (6).

Таким образом, показано, что приближенный метод расчета функции распределения электронов по энергии прост и эффективен. Он дает возможность простого анализа влияния различных процессов и тех или иных параметров на функцию распределения и соответственно на макроскопические характеристики слабоионизованной плазмы и позволяет при достаточно малых значениях E/N и температуры плазмы, что реализуется во многих практических задачах, находить функцию распределения электронов с хорошей точностью.

ЛИТЕРАТУРА

1. Sherman B. The difference-differential equation of electron energy distribution in a gas // J. Math. Anal. Appl.— 1960.— V. 1, N 3.
2. Frost L. S., Phelps A. V. Rotation and momentum transfer cross section for electrons in H_2 and N_2 from transport coefficients // Phys. Rev.— 1962.— V. 127, N 5.
3. Lucas J. Energy distributions for electron swarms in hydrogen at high values of E/p // Intern. J. Electron.— 1969.— V. 27, N 3.
4. Смит К., Томсон Р. Численное моделирование газовых лазеров.— М.: Мир, 1981.
5. Коврижных Л. М. Влияние неупругих соударений на распределение электронов по скоростям // ЖЭТФ.— 1959.— Т. 37, № 2 (8).
6. Каган Ю. М., Лягущенко Р. И. О функции распределения электронов по энергиям в положительном столбе разряда // ЖТФ.— 1964.— Т. 34, № 5.
7. Луковников А. И., Фетисов Е. П., Терехов Е. С. О функции распределения свободных электронов в низкотемпературной плазме // ЖТФ.— 1970.— Т. 40, вып. 9.
8. Цендин Л. Д. О влиянии неупругих ударов на функцию распределения электронов в электрическом поле // ЖТФ.— 1971.— Т. 41, вып. 11.
9. Термоэмиссионные преобразователи и низкотемпературная плазма/Под ред. Б. Я. Мойжеса и Г. Е. Пикуса.— М.: Наука, 1973.
10. Бакшт Ф. Г., Иванов В. Г. Функция распределения электронов в приэлектродном слое плазмы молекулярного газа // ЖТФ.— 1984.— Т. 5, № 10.
11. Shultz G. I. Vibrational excitation of N_2 , CO_2 and H_2 by electron impact // Phys. Rev.— 1964.— V. 135A, N 4.
12. Басов М. Г., Долинина В. И., Ковш И. Б. и др. Самосогласованный анализ кинетики элементарных процессов в ЭИ СО-лазере.— М., 1984.— (Препринт/ФИАН; № 183).

Поступила 13/VII 1987 г.

УДК 535 : 621.373.8 : 539

ДИНАМИКА ПЛАЗМЫ ОПТИЧЕСКОГО ПРОБОЯ ПРИ ГЛУБОКОМ ПРОПЛАВЛЕНИИ МЕТАЛЛОВ

*P. B. Арутюнян, Л. А. Большов, М. Ф. Каневский,
К. А. Криворучко, В. П. Решетин, |Р. И. Солоухин|*

(Минск)

Перспективы использования импульсно-периодических CO_2 -лазеров для размерной обработки (лазерная резка, сварка и сварение) стимулировали экспериментальные и теоретические исследования взаимодействия импульсно-периодического (ИП) излучения с металлами. В [1—4] развита теплогидродинамическая (ТГ) модель глубокого проплавления импульсно-периодическим излучением. Согласно [1—4], движение расплава в каверне циклическое. Удержание расплава на стенках происходит за счет вертикального разгона расплава во время импульса давлением паров и последующего торможения его движения гравитационно-капиллярными силами. Средняя температура в оптимальном режиме воздействия близка к темпе-